



УДК 591.044;577.3

ИССЛЕДОВАНИЕ ВЛИЯНИЯ ФОРМОВОГО ПОЛЯ ПИРАМИДЫ НА СТРУКТУРНО-ИНФОРМАЦИОННЫЕ СВОЙСТВА ВОДЫ

Виктор Коваленко¹, Мария Задорожня¹

¹ Херсонский национальный технический университет

Адрес для переписки: Мария Задорожня, студентка.

Место работы: Херсонский национальный технический университет

Email: masha_jr@ukr.ne

Аннотация. Методом рассеяния лазерного излучения исследовано влияние формового поля, мысленного воздействия и совместного влияния на структуру воды. Использовалась форма бумажной пирамиды.

Установлено, что в спиновой переструктуризации воды при совместном воздействии информационного и формового торсионных полей участвуют два механизма- генерация мелких кластеров и формирование крупнодисперсной структуры. Изучена зависимость их вклада в изменение структуры воды от интенсивности и конфигурации воздействующих полей

Ключевые слова: структура воды, кластер, формовое поле, торсионное поле, относительная индикатриса рассеяния.

Введение. Эффектом формы называется свойство тел определенных геометрических конфигураций влиять как на окружающую среду, так и на здоровье человека. Разнообразные проявления этого эффекта позволили сделать вывод о его полевой природе, которая не является электрической, магнитной или электромагнитной. [1]

Согласно [2], формовое поле имеет торсионную природу. Источником этого поля являются некомпенсированные спины атомов поверхностного слоя тела формы. В работе [3] было установлено влияние поля цилиндрической формы на кластерную структуру воды, состоящее в изменении ее параметров. Механизм этого влияния состоит в переориентации спинов четырехвалентных атомов кислорода кластеров, соответствующей спиновой конфигурации воздействующего формового поля [2.3]

С другой стороны известно [4.5], что вода изменяет свою структуру при мысленном, эмоциональном воздействии.

Согласно [6.7], физическим носителем сознания, мышления, эмоций является волновое торсионное поле, обусловленное спиновой поляризацией физического вакуума. Указанные аспекты человеческой психики могут быть представлены в виде устойчивых полевых образований – различных (в зависимости от характера информационного или эмоционального содержания) пространственных спиновых конфигураций - торсионных солитонов, излучаемых человеком.

Рассмотренный в [2] механизм эффекта формы заключается во взаимодействии статических торсионных полей формы и воды. В работе [8] показано, что источником торсионного поля воды является спиново - ориентированная структура атомов кислорода кластеров, в которой фиксируется информация о прежних энергетических и/ или информационных воздействиях на воду, то есть формируется ее память.

Изучение характера взаимодействия торсионных полей формы и воды при одновременном мысленном воздействии волновым торсионным полем на ее кластерную структуру является актуальной задачей по нескольким причинам: во-первых, научной значимостью такого изучения с точки зрения экспериментального подтверждения положений теории физического вакуума; во-вторых, недостаточной изученностью механизмов взаимодействия стационарного и волнового торсионных полей. В работе [8] исследование этого вопроса осуществилось на фоне множества исходных условий: различных конфигураций форм- пирамиды, структурных состояний исходной воды и характера вводимой информации при использовании внутреннего и внешнего формовых полей. Это обстоятельство затрудняло или не позволяло установить ряд важных деталей совместного воздействия формового поля и торсионного солитона на структуру воды; в-третьих, неустановленной природой оздоравливающего влияния формового поля пирамиды; в-четвертых, стремлением раскрыть загадку предназначения древних пирамид, существующих в различных регионах земного шара.

В настоящей работе методом рассеяния лазерного излучения [2] проведено изучение влияния формового поля, мысленного воздействия и совместного их влияния, а также последствие торсионного солитона на структуру воды.

Материалы и методы исследования. Бумажная форма четырехгранной пирамиды с шириной грани 25 см, длиной бокового ребра 24 см, высотой 17 см использовалась в двух вариантах - без нижней бумажной грани, выполняющей роль основания и с ее наличием.

В первом варианте пирамида представляла собой незамкнутую форму, в которой внутреннее поле создавалось только боковыми поверхностями; в пирамиде с основанием (замкнутая форма)

конфигурация внутреннего поля создавалась вкладом поверхностей как боковых, так и нижней граней.

В качестве предмета исследования использовалась структура питьевой воды, забираемой из одной и той же артезианской скважины, содержащая низкую концентрацию мелких кластеров в исходной воде. Это обстоятельство обеспечивало удовлетворительную стабильность её параметров в процессе выполнения эксперимента

Использование в работе только одной формы и исходной воды со стабильной структурой позволяет выяснить детали совместного воздействия на структуру воды, не рассмотренные в [8].

Осуществление указанных выше процедур воздействия производилось следующим образом. Для выполнения воздействия внутреннего и внешнего формовых полей на воду две идентичные кюветы с водой после предварительного измерения их исходных индикатрис рассеяния $I(\theta)_{исх}$ помещались на стержневых деревянных подставках на половине высоты пирамиды центрального участка кюветы. Одна из них помещалась внутри пирамиды на оси симметрии, вторая - снаружи на расстоянии 20 см центрального участка кюветы от боковой грани. После выдержки (экспозиции) в течение 10 минут измерялись их индикатрисы рассеяния $I(\theta)_{возд}$.

Мысленное воздействие осуществлялось на один новый образец исходной воды. После предварительного измерения на неё оказывалось информационное воздействие в течение 10 минут многократным мысленным повторением фразы "Вода - основа жизни на земле. Вода обладает памятью" оператором, находящимся на расстоянии приблизительно 0,5 м от кюветы с водой без присутствия пирамиды. По окончании воздействия и спустя два часа после него измерялись индикатрисы рассеяния $I(\theta)_{возд}$ и $I(\theta)_{exp}$ соответственно

Совместное воздействие осуществлялось одновременно на два новых образца исходной воды, которые после предварительного измерения их индикатрисы рассеяния $I(\theta)_{исх}$ помещались один внутри пирамиды, а второй - снаружи на расстоянии 20 см от боковой грани, аналогично описанному выше.

После мысленного многократного произнесения указанной выше фразы в течение 10 минут измерялись индикатрисы рассеяния $I(\theta)_{возд}$ обоих образцов и они возвращались на свои прежние местоположения относительно пирамиды, в которых удерживались ещё в течение двух часов. После экспозиции повторно измерялись их индикатрисы рассеяния $I(\theta)_{exp}$.

После каждого этапа измерения указанной их последовательности производилась обработка полученных данных и определение параметров структуры воды по методикам, изложенным в [2].

Описанный цикл измерений производился дважды - первый, когда использовалась пирамида без основания, второй - при наличии у пирамиды основания.

Результаты исследования. Ниже представлены основные результаты измерения с кратким (без деталей) комментарием.

На рисунке 1 представлены относительные индикатрисы рассеивания после воздействия внутреннего (кривая 1) и внешнего (кривая 2) формовых полей пирамиды без основания.

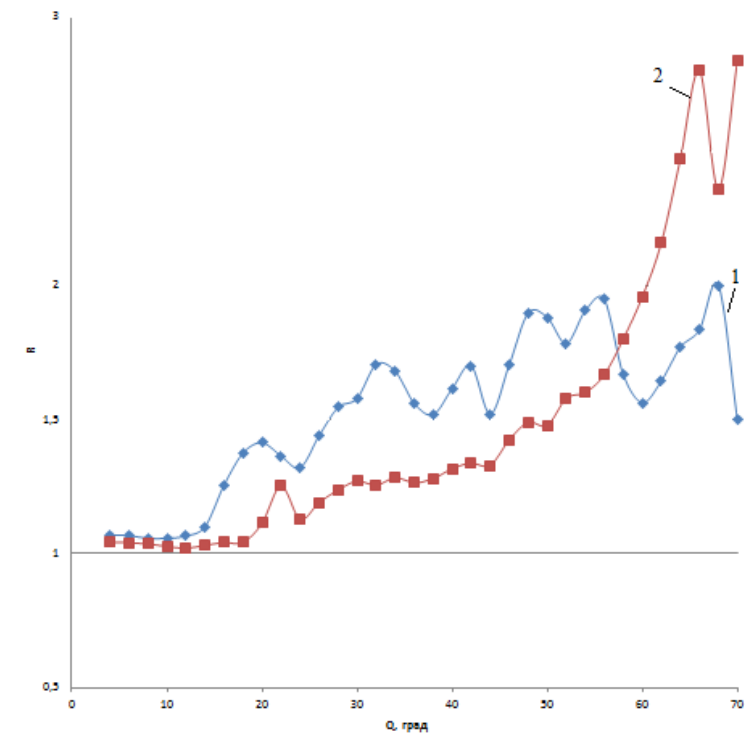


Рис.1 Относительные индикатрисы рассеивания испытуемых образцов воды при воздействии внутреннего формового поля(кривая 1) и внешнего поля(кривая 2).

Значения $R > 1$ в угловом интервале $\theta > 18^\circ$ и существенное их возрастание с увеличением θ указывают на интенсивную генерацию мелких и средних кластеров в обоих случаях. Наличие периодических флуктуаций R на кривых 1 и 2 свидетельствует об одновременном формировании сверхкрупных кластеров с радиусами $r_1 = 4,7-7,2$ мкм и $r_2 = 4,0-6,7$ мкм при внутреннем и внешнем воздействиях. Суммарные концентрации кластеров возрастали до $N_{\Sigma 1} = 148,6\%$ и $N_{\Sigma 2} = 147,5\%$ при внутреннем и внешнем воздействиях соответственно по сравнению с исходным значением $N_{\Sigma \text{исх}} = 100\%$

Приведенные на рисунке 2 данные мысленного воздействия (кривая 1) и его последствий (кривая 2) на образец исходной воды необходимы для сравнения их с данными совместного влияния формового и информационного поля на структуру воды.

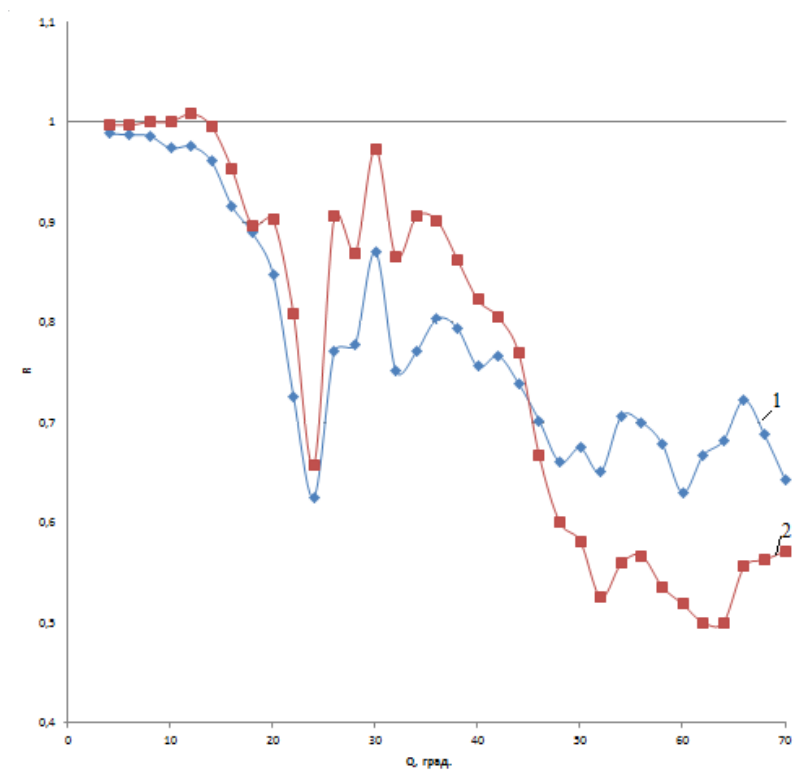


Рис.2 Относительные индикатрисы рассеяния образца после информационного воздействия в течение 10 минут(кривая 1) и после двухчасовой экспозиции(кривая 2).

Из рисунка 2 видно, что обе относительные индикатрисы рассеяния имеют значения $R < 1$ во всём угловом интервале рассеивания $\theta < 70^\circ$, а также интерференционную составляющую при $\theta > 20^\circ$. Характер кривых 1 и 2 указывает на то, что информационное воздействие вызывало процесс сращивания мелких и средних кластеров исходной воды в сверхкрупные с размерами $r_1 = 4,0-5,3$ мкм и $r_2 = 2,5-3,0$ мкм без генерации мелких кластеров. Такой механизм переструктуризации обусловил уменьшение суммарной их концентрации до $N_{\Sigma 1} = 78\%$ и $N_{\Sigma 2} = 76,8\%$. Незначительное уменьшение $N_{\Sigma 2}$ по сравнению с $N_{\Sigma 1}$ не выходит за пределы погрешности измерений.

На рисунке 3 приведены относительные индикатрисы рассеяния образца, находящегося внутри пирамиды без основания, непосредственно после совместного воздействия (кривая 1) и после двухчасовой выдержки во внутреннем формовом поле (кривая 2).

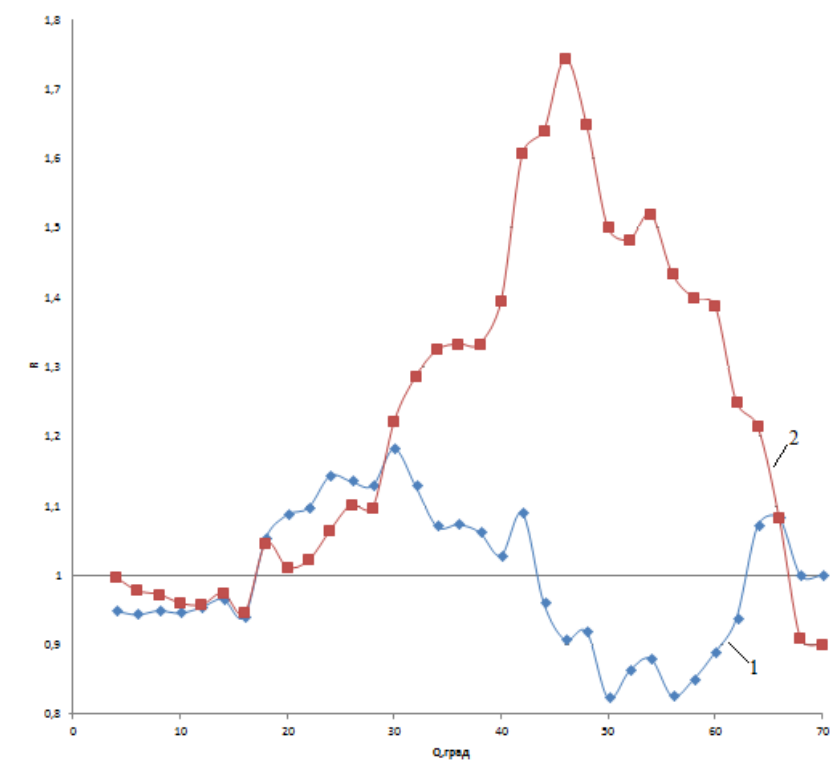


Рис. 3 Относительные индикатрисы рассеяния образца после совместного воздействия информационного и внутреннего формового поля (кривая 1) и после двухчасовой экспозиции (кривая 2)

Из рисунка видно, что характер кривой 1 подобен таковому кривой 1 на рисунке 2, что указывает на вклад информационного воздействия в новую структуру воды. Более высокие значения R кривой 1 рисунка 3 связаны с генерацией мелких и средних кластеров формовым полем. Величина $N_{\Sigma\text{возд}}$ составляла 100%

Последующая двухчасовая экспозиция (кривая 2 рисунок 3) приводила к значительному возрастанию концентрации мелких кластеров ($R > 1$ при $\theta > 20^\circ$), в результате чего суммарная концентрация кластеров возросла до $N_{\Sigma\text{возд}} = 118.6\%$. Меньшая величина $N_{\Sigma\text{возд}}$ после экспозиции по сравнению со значением $N_{\Sigma\text{возд}} = 148\%$ после воздействия только внутренним формовым полем (рисунок 1 кривая 1) обусловлена, очевидно, возрастающим преобладанием в период экспозиции влияния формового поля над последствием информационного солитона и постепенным разрушением последнего.

На рисунке 4 представлены зависимости $R(\theta)$ образца воды, находящегося снаружи пирамиды без основания, после совместного воздействия (кривая 1) и после двухчасовой выдержки в наружном формовом поле (кривая 2)

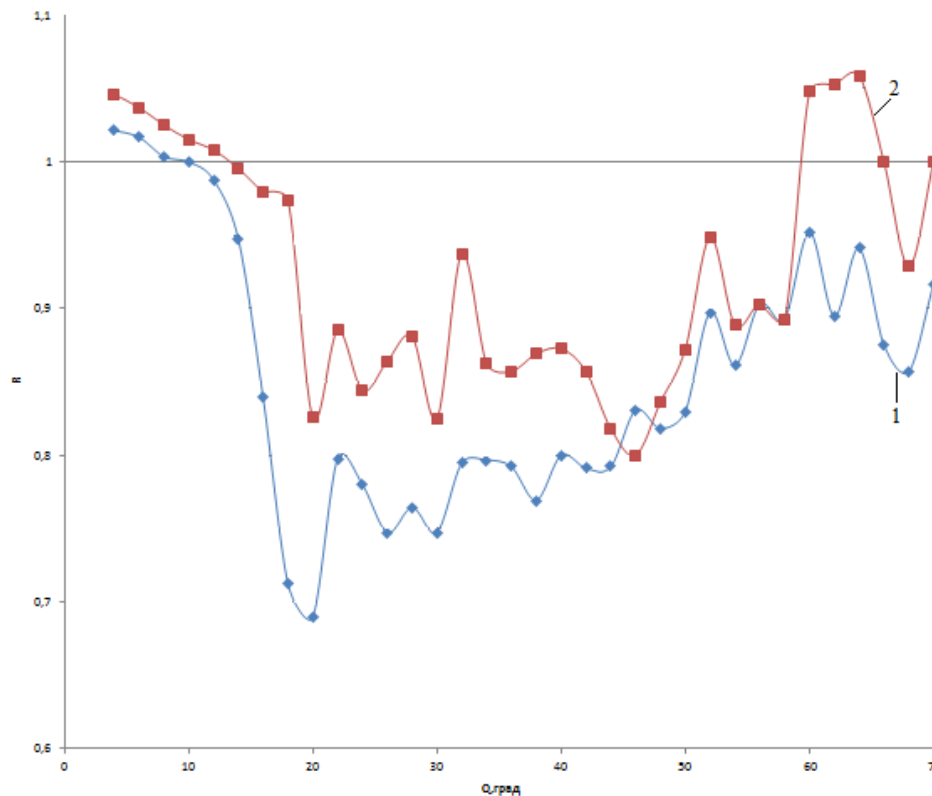


Рис.4 Относительные индикатрисы образца воды непосредственно после совместного воздействия информационного и внешнего формового поля (кривая 1) и после двухчасовой экспозиции(кривая 2)

Подобие кривой 1 рисунка 4 и кривой 1 рисунка 2 свидетельствует о преобладании информационного солитона - над внешним формовым полем.

Возрастание значений $R < 1$ с увеличением угла рассеяния θ связано с влиянием формового поля, вызывающего генерацию мелких кластеров. Суммарная концентрация кластеров уменьшалась до $N_{\Sigma} = 85,4\%$

Смещение кривой 2 вверх после экспозиции при наличии сверхкрупных кластеров с $r_1 = 4,5-6,7$ мкм и $r_2 = 2,3-3,5$ мкм обусловлено усилением генерационного эффекта внешним формовым полем. Формирование сверхкрупных кластеров вызвано последствием торсионного солитона. Значение N_{Σ} возросло до $92,5\%$

На рисунке 5 приведены относительные индикатрисы рассеяния образцов воды после воздействия внутреннего (кривая 1) и внешнего (кривая 2) формовых полей пирамиды с основанием.

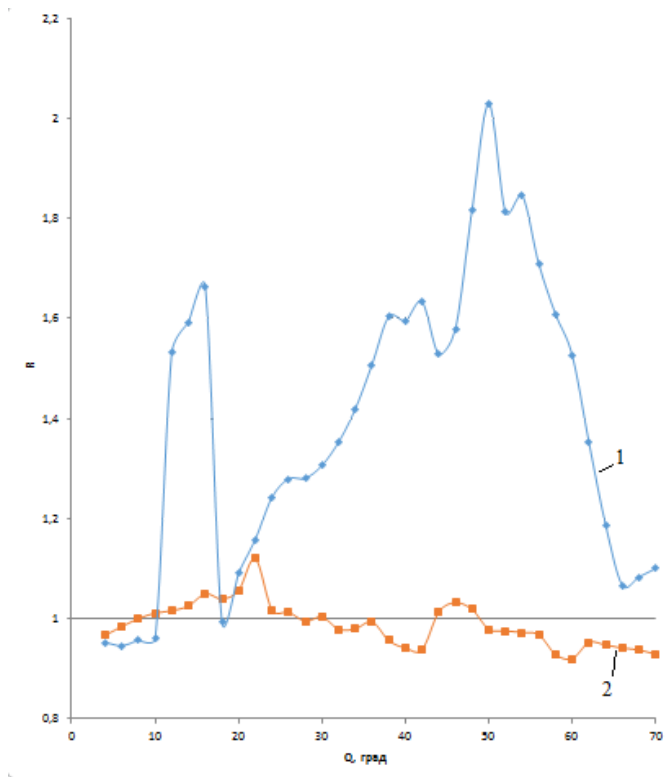


Рис.5 Относительные индикатрисы рассеяния образца воды непосредственно после воздействия внутреннего поля пирамиды с основанием (кривая 1) и после двухчасовой экспозиции (кривая 2)

Значение $R > 1$ кривой 1 в угловом интервале $\theta \geq 10^\circ$ свидетельствует о генерации мелких и средних классов. Возрастающий характер кривой 1 подобен наблюдаемому при воздействии внутреннего поля пирамиды без основания (рисунок 1, кривая 1). Суммарная концентрация кластеров возростала до $N_{\Sigma \text{возд}} = 135\%$

Кривая 2 имела знакопеременные значения $R < 1$ в интервале $0.9 \leq R \leq 1.12$ и две интерференционные составляющие, обусловленные рассеянием на сверхкрупных кластерах с $r_1 = 4,5-6,7$ мкм и $r_2 = 2,8$ мкм, формируемых за счёт сращивания генерируемых мелких кластеров. Суммарная концентрация кластера составляла $N_{\Sigma \text{возд}} = 100.5\%$

На рисунке 6 представлены относительные индикатрисы рассеяния образца воды, находящегося внутри пирамиды с основанием, непосредственно после совместного воздействия (кривая 1) и спустя два часа (кривая 2).

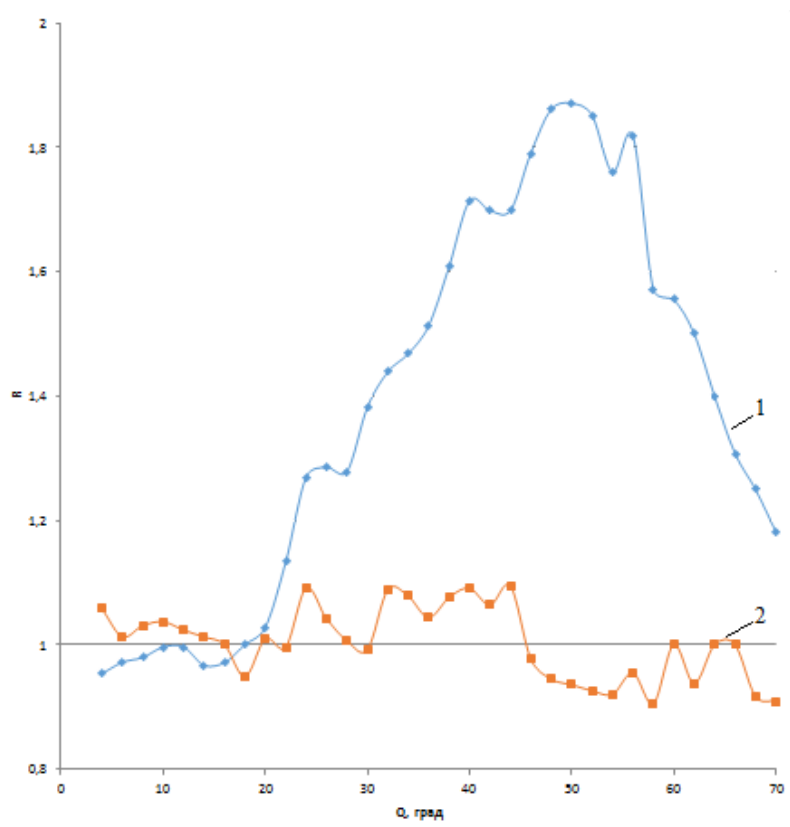


Рис.6 Относительные индикатрисы рассеивания образца воды после совместного информационного и внутреннего формового поля пирамиды с основанием (кривая 1) и после двухчасовой выдержки (кривая 2)

Как и в случае, воздействия только внутреннего формового поля пирамиды с основанием (рисунок 5, кривая 1), значение $R > 1$ в угловом интервале $Q > 18^\circ$ свидетельствует об интенсивной генерации мелких кластеров, обусловленной воздействием формового поля. Значение $N_{\Sigma \text{возд}} = 138,5\%$. Интерференционные максимумы с периодом $\Delta\theta = 6^\circ - 8^\circ$ связаны с рассеянием на сверхкрупных кластерах с $r = 3,5 - 4,5$ мкм. Их наличие обусловлено информационным воздействием. Плохое разрешение этих максимумов обусловлено малой концентрацией таких кластеров, что указывает на незначительный вклад торсионного солитона в спиновую переструктуризацию.

Однако в период последующей экспозиции (кривая 2) вклад информационного солитона становился доминирующим в формировании крупнодисперсной структуры и к концу экспозиции она состояла, в основном, из кластеров с $r_1 = 6,7 - 7,2$ мкм, $r_2 = 3,5 - 3,6$ мкм, крупных кластеров с $r = 1,05$ мкм. Концентрации средних и мелких кластеров практически соответствовали таковым исходной структуры. Значение суммарной концентрации кластеров составляло $N_{\Sigma \text{exp}} = 100,4\%$

Таким образом, наличие основания у пирамиды, в общем, приводит к эффекту, обратному наблюдаемому с пирамидой без основания.

На рисунке 7 приведены относительные индикатрисы рассеяния образца воды, находящегося снаружи пирамиды с основанием, непосредственно после совместного информационного воздействия и внешнего формового поля (кривая 1) и спустя два часа (кривая 2)

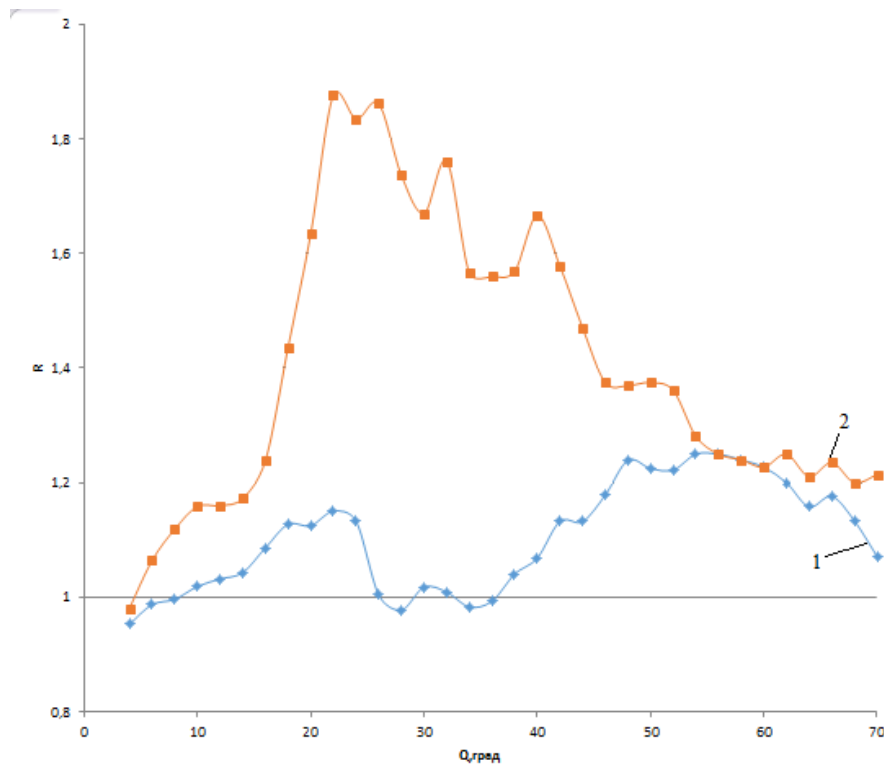


Рис 7 Относительные индикатрисы рассеивания образца после совместного воздействия информационного и внешнего формового поля пирамиды с основанием (кривая 1) и после двухчасовой выдержки (кривая 2)

Характер кривой 1 указывает, что процесс спиновой переструктуризации обусловлен, в основном, влиянием внешнего формового поля. Роль информационного солитона в данном случае состояла в замедлении процесса генерации мелких кластеров. Суть этого замедления состоит в следующем. Внешнее формовое поле является однородным и однонаправленным, обеспечивая вследствие этого однонаправленную спиновую ориентацию генерируемых мелких кластеров. В отсутствие информационного солитона спиновая однонаправленность этих кластеров обуславливает их сильное взаимное притяжение и быстрое сращивание в более крупные кластеры (рисунок 5, кривая 2).

В данном случае конкурирующее воздействие информационного солитона раз упорядочивает спиновую однонаправленность, пытаясь сформировать спиновую конфигурацию структуры воды, соответствующую таковой самого солитона. Это противодействие замедляет процесс генерации и последующего сращивания мелких кластеров в более крупные. После

двухчасовой экспозиции процесс генерации усиливался, на что указывает значение $R > 1$ во всем угловом интервале рассеяния (кривая 2) и суммарная концентрация кластеров $N_{\Sigma \text{возд}} = 140,3\%$. Эти данные свидетельствуют о разрушении информационного солитона и о продолжающемся воздействии внешнего формового поля.

Таким образом, из приведенных данных следует, что при совместном воздействии информационного поля и внешнего формового поля влияние основания пирамиды на структуру воды отсутствует.

В настоящей работе в спиновой переструктуризации воды участвовали два механизма – генерационный, вызывающий увеличение концентрации мелких кластеров и механизм сращивания спиново-упорядоченных кластеров. Следует заметить, что спиновое упорядочивание может обеспечиваться влиянием информационного солитона, а также формовым полем. Каждое из этих полей формирует спиновую конфигурацию кластерных атомов кислорода, подобную своей. При совместном воздействии в зависимости от интенсивности этих полей может иметь место ускорение процесса сращивания и формирования крупнодисперсной структуры, либо замедление процесса сращивания и формирования мелкодисперсной структуры.

Интенсивность формовых полей во времени остается постоянной, а интенсивность торсионного солитона является изменяющейся в сторону уменьшения или увеличения во времени. В последнем случае это возможно, когда между торсионным полем воды и воздействующим торсионным солитоном устанавливается положительная обратная связь, наблюдаема в [8].

В данной работе подобная обратная связь имеет место в тех случаях, когда

$$N_{\Sigma \text{возд.}} \lesssim N_{\Sigma \text{исх}}$$

При обратном неравенстве имеет место уменьшение интенсивности торсионного солитона, то есть разрушение спиновой конфигурации физического вакуума, сформированной мысленной информацией.

Выводы. 1. Установлено, что в спиновой переструктуризации воды при совместном воздействии информационного и формового полей участвуют два механизма - генерация мелких кластеров и сращивание спиново - упорядоченных кластеров.

2. При совместном воздействии в зависимости от интенсивности и конфигурации этих полей может происходить ускорение процесса сращивания и формирование крупнодисперсной структуры или его замедление и формирование мелкодисперсной структуры.

3. Показано, что интенсивность торсионного солитона при совместном воздействии с формовым полем и/ или при информационном последствии является изменяющейся во времени в

сторону уменьшения или увеличения. Направление этого изменения обуславливается степенью подобия спиновых конфигураций торсионных полей воды и воздействующего информационного солитона.

4. Установлено, что наличие основания у пирамиды изменяет конфигурацию её внутреннего поля по сравнению с имеющейся в пирамиде без основания. Показано, что при совместном воздействии наличие основания способствует образованию мелкодисперсной структуры, а при его отсутствии - крупнодисперсной.

СПИСОК ИСПОЛЬЗОВАННОЙ ЛИТЕРАТУРЫ:

1. Степанов И.К. Излучение формы. Состояние проблемы. Обзор. www.chromos.msu.ru/old/RREPORTS/stepanov_forma/pdf.
2. Коваленко В.Ф. Исследование механизма эффекта формы// Биомедицинская инженерия и электроника-2015-№1 biofbe.esrae.ru/201-992
3. Коваленко В.Ф., Шутов С.В. Влияние формы на структуру воды. Биомедицинская инженерия и электроника- 2012-№2 biofbe.esrae.ru/183-894
4. Эмото М. Послания воды: тайные коды кристаллов льда. М., «София», 2005, 96с
5. Коваленко В.Ф. Информационное воздействие на структуру воды. Биомедицинская инженерия и электроника -2012-№1 biofbe.esrae.ru/182-805
6. Акимов А.Е. Эвристическое обсуждение проблемы поиска новых дальнодействий. EGS-концепции- Препринт МНГЦ ВЕНТ, №7А, М., 1991,63с.
7. Шипов Г.И. Теория физического вакуума. М., МТ-Центр, 1993,365с.
8. Коваленко В.Ф. Информационный эффект формы// Биомедицинская инженерия и электроника. 2016-№1 biofbe.esrae.ru/207-1049.